



Gulmurza ABDURAXMONOV,

O'zMU Fizika fakulteti proffessori

E-mail:gulmirzo@mail.ru,

Muhriddin TURSUNOV,

O'zMU Fizika fakulteti tayanch doktoranti

Avazbek DEXQONOV,

O'zMU Fizika fakulteti tayanch doktoranti

Fizika-matematika fanlari doktori, professor B.Umirzakov taqrizi asosida

#### POSSIBILITIES OF MAKING A STRAIN GAUGE FROM SILICATE GLASS DOPED WITH RUTHENIUM DIOXIDE

##### Annotation

In this paper, the effects of resistor paste components and baking temperature on the temperature coefficient of resistance (TCR) of a thick-film resistor were systematically investigated. Thick film resistors prepared from RuO<sub>2</sub> concentrations (from 10 wt% to 30 wt%) baked at different temperatures on an Al<sub>2</sub>O<sub>3</sub> substrate were investigated. The relationship between resistor resistance, TCR and scale factor (GF) was studied. The results show that TCR also increases with increasing RuO<sub>2</sub> concentration and baking temperature. Near the minimum ( $T_{min}$ ) of the resistance-temperature curve, the temperature has the least effect on the resistance value, and a thick-film resistor can be considered insensitive to temperature in a certain range. The ratio of TCR to GF and  $T_{min}$  depends on the film resistance of thick film resistors. By varying the concentration of the conductive phase and the baking temperature, the film resistance of thick-film resistors can be controlled, and low-temperature strain gauges can be achieved for different ambient temperatures.

**Key words:** Thick film resistor, temperature coefficient of resistance (TCR); gauge factor (GF), doped silicate glass, RuO<sub>2</sub> metal oxide.

#### ВОЗМОЖНОСТИ ИЗГОТОВЛЕНИЯ ТЕНЗОДАТЧИКА ИЗ СИЛИКАТНОГО СТЕКЛА, ЛЕГИРОВАННОГО ДИОКСИДОМ РУТЕНИЯ

##### Аннотация

В этой статье было систематически исследовано влияние компонентов резисторной пасты и температуры обжига на температурный коэффициент сопротивления (TCR) толстопленочного резистора. Исследованы толстопленочные резисторы, изготовленные из концентраций RuO<sub>2</sub> (от 10% до 30% по массе), прокаленные при различных температурах на подложке из Al<sub>2</sub>O<sub>3</sub>. Исследована взаимосвязь между сопротивлением резистора, TCR и масштабным коэффициентом (GF). Результаты показывают, что TCR также увеличивается с увеличением концентрации RuO<sub>2</sub> и температуры обжига. Вблизи минимума ( $T_{min}$ ) кривой сопротивление-температура температура оказывает наименьшее влияние на значение сопротивления, и толстопленочный резистор можно считать нечувствительным к температуре в определенном диапазоне. Отношение TCR к GF и  $T_{min}$  зависит от сопротивления слоя толстопленочных резисторов. Изменяя концентрацию проводящей фазы и температуру обжига, можно контролировать пленочное сопротивление толстопленочных резисторов и получать низкотемпературные тензорезисторы для различных температур окружающей среды.

**Ключевые слова:** толстопленочный резистор, температурный коэффициент сопротивления (TCR); калибровочный коэффициент (GF), легированное силикатное стекло, оксид металла RuO<sub>2</sub>.

#### RUTENIY DIOKSIDI BILAN LEGIRLANGAN SILIKAT SHISHADAN TENZODATCHIK YASASH IMKONIYATLARI

##### Annotatsiya

Ushbu maqolada rezistorlari pasta komponentlari va pishirish haroratining qalin qatlamlari rezistorning qarshilik harorat koeffitsientiga (TCR) ta'siri tizimli ravishda o'rGANildi. Al<sub>2</sub>O<sub>3</sub> tagligida turli xil temperaturalarda pishirilgan RuO<sub>2</sub> konsentratsiyasidan (10 wt% dan 30wt% gacha) tayyorlangan qalin qatlamlari rezistorlar tekshirildi. Rezistorlar qarshiligi, TCR va o'lchov omili (GF) o'rtasidagi munosabatlar o'rGANildi. Natijalar shuni ko'rsatadiki, RuO<sub>2</sub> konsentratsiyasi va pishirish harorati ortishi bilan TCR ham ortadi. Qarshilik-harorat egri chizig'ining minimal ( $T_{min}$ ) yaqinida harorat qarshilik qiyatiga eng kam ta'sir qiladi va qalin qatlamlari rezistor ma'lum bir diapazonda haroratga sezgir emas deb hisoblash mumkin. TCR ning GF va  $T_{min}$  nisbati qalin qatlamlari rezistorlarning qatlamlari qarshiligidagi bog'liq. Supero'tkazuvchilar fazaning kontsentratsiyasini va pishirish haroratini o'zgartirish orqali qalin qatlamlari rezistorlarning qatlamlari qarshiligidagi nazorat qilish mumkin, so'ngra turli xil muhit haroratlari uchun past haroratlarni sezmaydigan tenzodatchiklarga erishish mumkin.

**Kalit so'zlar:** Qalin qatlamlari resistor, qarshilikning harorat koeffitsienti (TCR); o'lchash omili (GF), legirlangan silikat shisha, RuO<sub>2</sub> metal oksidi.

**Kirish.** So'nggi yillarda barqarorligi, deformatsiya sezuvchanligi va bir qator afzalliklari tufayli qurilish muhandisligi sohasiga qalin qatlamlari rezistorlari deformatsiya datchiklari sifatida kirib kelmoqda [1,2]. Ideal tenzodatchik katta o'lchov omiliga ega bo'lishi va boshqa omillar datchikga ta'sir qilmasligi kerak. Biroq, aslida datchikga xalaqt beradigan boshqa omillar mavjud, masalan, elektromagnit maydonlar, harorat, namlik va boshqalar. Elektromagnit maydonlar va namlik muammosini tashqi muhitdan himoya qilish orqali hal qilish mumkin [3]. Tenzodatchiklarning sezgirligini oshirish uchun umumiy usullar, haroratni qoplash texnologiyalaridan foydalananish [4] va haroratga sezgir bo'lmagan datchiklar rezistorlarini yaratish kerak [5]. Haroratni qoplash o'mriga, haroratning sensorlarga ta'sirini kamaytirishning yana bir usuli – haroratga nisbatan kamroq sezgir bo'lgan materiallardan foydalananish. Shu nuqtai nazardan, tolali Bragg panjara datchiklari bo'yicha ko'plab tadqiqotlar mavjud. Oldingi tadqiqotlar, asosan, panjara tuzilishini o'zgartirdi yoki juda past kengayish koeffitsientiga ega bo'lgan tagliklardan foydalangan holda haroratga sezgir bo'lmagan panjara oldi [6,7]. Haroratni qoplash texnologiyalari bilan taqqoslaganda, haroratga sezgir bo'lmagan datchiklar datchiklarning murakkabligini yoki olish texnologiyasini soddalashtirishi va datchikning sezgirligini oshirishi mumkin. Qalin qatlamlari rezistorlarning haroratga sezgir bo'lishi, rezistor qatlaming qalinligiga [8], rezistor pastalari tarkibiga [9], yoqish sharoitlariga [10,11], va taglik materiallariga qarab o'zgarishi mumkin[12].

Ushbu maqolada biz pasta tarkibiy qismlarini va haroratga nisbatan sezgir bo'lmagan qalin qatlamlari rezistorlarni olish uchun pishirish sharoitlarini o'zgartirish orqali TCRni boshqarishimiz mumkin. Bunday qalin qatlamlari rezistorlar to'g'ridan-to'g'ri ma'lum bir harorat oralig'ida qo'shimcha komponentlar va sxemalarsiz qo'llanilishi mumkin. Qalin qatlamlari rezistorning qarshilik-temperatura egri chizig'i TCR ning qiyamti 0 ga yaqin bo'lsa deyarli parabolik ko'rinishda bo'ladi [13]. Qarshilik-harorat egri chizig'ining eng past nuqtasida ( $T_{min}$  haroratda) qalin qatlamlari rezistor haroratga sezgir emas deb hisoblanadi.

Ushbu ish qalin qatlamlari rezistorlarning qarshilik-temperatura xususiyatlarini tizimli o'rganishni talab qiladi. Haroratning qalin qatlamlari rezistorning qarshilik qiymatiga ta'siri ikki jihatni o'z ichiga oladi: harorat o'zgarishi natijasida yuzaga keladigan qalin qatlamlari rezistor qarshiligining o'zgarishi; qarshilik qatlami va taglik o'tasidagi issiqlik kengayish koefitsienti farqi natijasida yuzaga kelgan termal deformatsiya. Qarshilikning o'zgarishi asosiy o'tkazuvchanlik mexanizmlarini o'z ichiga oladi, jumladan, tunnel modeli [13], sakrab o'tish nazariyasi [14], tor o'tkazuvchanlik diapazonlari va omik kontaktlar [15]. Biroq, aniq bir nazariya aniqlanmagan, ammo 96% li  $\text{Al}_2\text{O}_3$  taglikga  $\text{RuO}_2$  asosida tayyorlangan qalin qatlamlari rezistorlarning haroratga bog'liqligi sakrab o'tish nazariyasiga mos kelishi haqida keng tarqalgan eksperimental dalillar mavjud [16]. Qarshilik va harorat o'tasidagi munosabat quyidagi tenglama bilan ifodalaniши mumkin:

$$R = R_0 \sqrt{T} \exp(T_0 / T)^{1/4} \quad (1)$$

bu yerda  $T_0$  quyidagicha aniqlanadi:

$$T_0 = \frac{16\alpha^3}{kN_0} \quad (2)$$

Bu erda  $k$  - Boltzman doimiysi,  $N_0$  - o'tkazuvchan zarrachalarning hajm va energiya birligidagi zichligi,  $\alpha$  - zarracha hajmi va shisha xususiyatlariga bog'liq parametr. Qarshilik-harorat qiyatlari (1) ifoda bilan hisoblash orqali qarshilik harorati egri chizig'in eng past nuqtasidagi haroratni aniqlash mumkin, bu datchiklarning haroratga sezgir bo'lmagan diapazonini olishga yordam beradi.

**Material va metodlar.** Ushbu tadqiqot O'zbekiston Milliy universiteti Fizika fakulteti Nanokompazitsion materiallar ilmiy laborotoriyasida professor o'qituvchi, tayanch doktorantlar va ilmiy xodimlar tomonidan amalga oshirildi. Tadqiqot obekti sifatida konsentratsiyasi 10-30%  $\text{RuO}_2$  metal oksidi va qo'rg'oshin borosilikat shisha kukunlari aralashmasidan tayyorlangan resistor olindi. Bunda  $\text{RuO}_2$  metal oksidiga qo'rg'oshin borosilikat shisha kukunlari aralashdirilib vaqtinchalik shakl hosil qiluvchi va namuna pishirish jarayonida uchib chiqib ketadigan aralashma aralashdirilib gel ko'rinishidagi pasta hosil qilindi. Hosil bo'lgan pasta tafrafet yordamida keramik taglikka o'tqazildi. Tayyor bo'lgan rezistorli pastalar pechda quritilib 10 daqiqa davomida turli haroratlarda ( $750^\circ\text{C}$ ,  $850^\circ\text{C}$  va  $950^\circ\text{C}$ ) pishirildi. Natijada hosil bo'lgan qalin qatlamlari resistor Normallashtirilgan qarshilik koefitsiyentining haroratga bog'liqligi, TCR ning  $\text{RuO}_2$  konsentratsiyasiga bog'liqligi o'rganildi va eksperimental natijalarni sakrab o'tish-perkolatsiya modeliga moslashtirildi.

### Tajriba.

**Namuna tayyorlash.** Ushbu maqolada laboratoriya ishlab chiqarilgan  $\text{RuO}_2$  rezistorli pastasi ishlataldi. Pastalarining asosiy tarkibiy qismi konsentratsiyasi 10-30%  $\text{RuO}_2$  zarralari va qo'rg'oshin borosilikat shisha kukunlari aralashmasidan tayyorlangan. Organik vosita ushbu ikki kukun aralashmasiga qo'shildi va oxirgi rezistorli pastalar yaxshilab aralashdirildi. Keyin rezistorli pastalar 10 daqiqa davomida turli haroratlarda ( $750^\circ\text{C}$ ,  $850^\circ\text{C}$  va  $950^\circ\text{C}$ ) pishirildi. Har bir holat uchun uchta qalin qatlamlari rezistor namunasini mavjud.

**Xususiyatlarni o'chash.** Batafsil harorat xarakteristikasi ma'lumotlarini olish uchun qalin qatlamlari rezistorlarning qarshilik qiyatlari  $10^\circ\text{C}$ ,  $25^\circ\text{C}$  va  $125^\circ\text{C}$  haroratlarda o'chandi. TCR ning qiyatlari (3) tenglama bilan hisoblandi. [10].

$$TCR = \frac{R_{125} - R_{25}}{(125 - 25)R_{25}} \times 10^6 (\text{ppm}/\text{°C}) \quad (3)$$

Bu erda  $R_{25}$  -  $25^\circ\text{C}$  dagi qarshilik,  $R_{125}$  -  $125^\circ\text{C}$  da qarshilik.

Turli qarshilik qiyatlari bilan TFR ning qarshilik-temperatura xususiyatlarini taqqoslashni osonlashtirish uchun qarshilik qiyatlari quyidagicha normallashtirildi:

$$R_N = \frac{R(T) - R_{25}}{R_{25}} \quad (4)$$

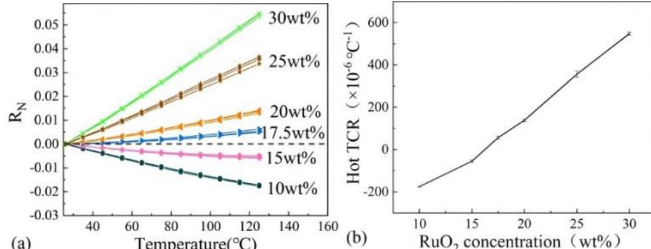
Bu erda  $R_N$  - normallashtirilgan qarshilik koefitsiyenti,  $R(T)$  -  $T$  haroratda o'changani qarshilik.

O'chov omilini o'chash uch nuqtali english testi orqali amalga oshirildi [17]. Uch nuqtali english yoki bilan qalin qatlamlari rezistorlarning nisbiy qarshilik o'zgarishi ( $\Delta R$ ) o'chandi va qalin qatlamlari rezistorlarning deformatsiyasi ( $\varepsilon$ ) uch nuqtali english uchun nazariy formula bo'yicha hisoblab chiqildi. Shunday qilib, qalin qatlamlari rezistorlarning GF (5) formula yordamida aniqlanadi.

$$GF = \frac{\Delta R/R}{\varepsilon} \quad (5)$$

Bu erda  $R$  - rezistorlarning qarshilik,  $\Delta R$  - deformatsiya natijasida yuzaga keladigan qarshilik o'zgarishi va  $\varepsilon$  - deformatsiya.

**Natijalar.** Ushbu qismda  $\text{RuO}_2$  metal oksidining 10-30% konsentratsiyasiga ega qalin qatlamlari rezistorlarning qarshilik-temperatura xususiyatlarini muhokama qilindi. Namuna  $850^\circ\text{C}$  da 10 daqiqa davomida ushlab turildi. Tayyor bo'lgan qalin qatlamlari rezistorlarning normallashtirilgan qarshilik koefitsiyentining past temperaturalarda ( $0^\circ\text{C}$  dan  $160^\circ\text{C}$  gacha) o'zgarishi va TCR ning  $\text{RuO}_2$  konsentratsiyasiga bog'liqligi o'rganildi (1-rasm).



1-rasm.(a) Normallashtirilgan qarshilik koefitsiyentining haroratga nisbatan; (b) TCR ning  $\text{RuO}_2$  konsentratsiyasiga nisbatan bog'liqligi

1a-rasmida ko'rsatilganidek, qalin qatlamlari rezistorlarning normallashtirilgan qarshilik koefitsiyenti past haroratlarda ( $0^\circ\text{C}$  dan  $160^\circ\text{C}$  gacha) haroratning oshishi bilan asosan to'g'ri chiziqlar bo'ylab o'zgaradi. Turli xil  $\text{RuO}_2$  konsentratsiyasiga ega qalin qatlamlari rezistorlarning haroratga sezgirligi ham har xil bo'ladi.  $\text{RuO}_2$  konsentratsiyasi past bo'lganda (10, 15%), qalin qatlamlari rezistorlar salbiy qarshilik-temperatura xususiyatlarini ko'rsatadi, normallashtirilgan qarshilik koefitsiyentini harorat oshishi bilan kamayishini ko'rishimiz mumkin. Boshqa tomonidan, yuqori  $\text{RuO}_2$  konsentratsiyasiga ega bo'lgan qalin qatlamlari rezistorlarning qarshilik-harorat ko'rsatkichlari ijobiligini ko'rishimiz mumkin. Supero'tkazuvchi fazaning kontsentratsiyasi oshgani sayin, qarshilik va harorat o'tasidagi salbiy munosabat musbatga aylanadi. 1b-rasmida qalin qatlamlari rezistorlarning TCRlari  $\text{RuO}_2$  konsentratsiyasining funksiysi sifatida chizilgan. Qalin qatlamlari rezistorlarning TCRlari -200 dan 600 ppm/ $^\circ\text{C}$  gacha bo'lgan soxada  $\text{RuO}_2$  konsentratsiyasining ortishi bilan ortadi. Bu vaqtida harorat o'zgarishi bilan qalin qatlamlari rezistorlarning qarshilik qiyatlari o'zgarishsiz qoladi.

Demak namuna 10 daqiqa davomida  $850^\circ\text{C}$  da pishirilsa, 15%  $\text{RuO}_2$  bo'lgan qalin qatlamlari rezistorlar haroratga eng kam sezgir resistor bo'ladi. Rezistor pastalarining  $\text{RuO}_2$  konsentratsiyasini o'zgartirish orqali haroratga sezgirlikni keng diapazonda o'zgartirish mumkin, ammo TCR ni 0 ga yaqin qilish qiyin.

**Xulosa.** Har xil  $\text{RuO}_2$  konsentratsiyasidan tayyorlangan qalin qatlamlari rezistorlar  $\text{Al}_2\text{O}_3$  tagligida har xil pishirish haroratlarda pishirildi. Qalin qatlamlari rezistorlarning harorat xarakteristikalari, o'chov omili va qatlam qarshiligi o'rganildi. Ushbu tadqiqotning asosiy natijalari quyidagicha umumlashtirildi:

- TCR ning qiyatlari  $\text{RuO}_2$  konsentratsiyasini va pishirish haroratini o'zgartirish orqali boshqarilishi mumkin. TCRning qiyatlari  $\text{RuO}_2$  konsentratsiyasi va pishirish haroratining oshishi bilan ortadi. Xuddi shu taglik va bir xil rezistorlar seriyasini ko'rib chiqayotganda, TCR oxir-oqibat qalin qatlamlari rezistorlarning qatlam qarshiligidagi bog'liq ekanligi aniqlandi
- Turli qatlam qarshiligidagi ega qalin qatlamlari rezistorlarni tanlash orqali qarshilik harorati egri chizig'in eng past nuqtasini ( $T_{min}$ ) sozlash mumkin. Shunday qilib, turli xil muhit haroratlari uchun past haroratlarni sezmaydigan tenzdatchiklarga erishish mumkin.

**ADABIYOTLAR**

1. S.A.A. Jabir, N.K. Gupta, Condition monitoring of the strength and stability of civil structures using thick film ceramic sensors, *Measurement*.46 (7) (2013) 2223-2231.
2. X. Guan, M. Wen, H. Li, J. Ou, Strain sensor made by thick-film resistors on substrates of glass ceramic, in: 11th IWSHM2017: Real-Time Material State Awareness and Data-Driven Safety Assurance, Vol. 2, DEStech Publications, Stanford, CA, United states, 2017, pp. 1961-1968.
3. Z. Zhou, J. Ou, Techniques of temperature compensation for FBG strain sensors used in long-term structural monitoring, in: *Fundamental Problems of Optoelectronics and Microelectronics II*, Vol. 5851, SPIE, 2005, pp.
4. V. Sundararaman, V.T. Rathod, D.R. Mahapatra, Temperature compensation in CNT-composite distributed strain sensors, in: *SPIE Smart Structures and Materials Nondestructive Evaluation and Health Monitoring*, Vol. 9436, SPIE, 2015, pp. 7.
5. X. Dong, X. Yang, C.-L. Zhao, L. Ding, P. Shum, N.Q. Ngo, A novel temperature-insensitive fiber Bragg grating sensor for displacement measurement, *Smart Materials and Structures*.14 (2) (2005) N7-N10.
6. M. Song, B. Lee, S.B. Lee, S.S. Choi, Interferometric temperature-insensitive strain measurement with different-diameter fiber Bragg gratings, *Opt. Lett.*22 (11) (1997) 790-792.
7. V. Bhatia, D.K. Campbell, D. Sherr, T. D'Alberto, N. Zabaronick, G.A.T. Eyck, K.A. Murphy, R.O. Claus, Temperature-insensitive and strain-insensitive long-period grating sensors for smart structures, *Optical Engineering*.36 (7) (1997) 1872-1876, 1875
8. Y.L. Zheng, J. Atkinson, R. Sion, Z.G. Zhang, A study of some production parameter effects on the resistance-temperature characteristics of thick film strain gauges, *J Phys D Appl Phys*.35 (11) (2002) 1282-1289.
9. M. Hrovat, A. Bencan, D. Belavic, J. Holc, G. Drazic, The influence of firing temperature on the electrical and microstructural characteristics of thick-film resistors for strain gauge applications, *Sensor Actuat a-Phys*.103
10. K. Adachi, H. Kuno, Effect of glass composition on the electrical properties of thick-film resistors, *Journal of the American Ceramic Society*.83 (10) (2000) 2441-2448.
11. L. Joon, R. Vest, Firing Studies With a Model Thick Film Resistor System, *IEEE Transactions on Components, Hybrids, and Manufacturing Technology*.6 (4) (1983) 430-435.
12. H. Tian, H.-t. Liu, H.-f. Cheng, Microstructural and electrical properties of thick film resistors on oxide/oxide ceramic-matrix composites, *Ceramics International*.41 (2) (2015) 3214-3219.
13. G.E. Pike, C.H. Seager, Electrical properties and conduction mechanisms of Ru-based thick-film (cermet) resistors, *Journal of Applied Physics*.48 (12) (1977) 5152-5169.
14. N.F. Mott, Conduction in glasses containing transition metal ions, *Journal of Non-Crystalline Solids*.1 (1) (1968) 1-17.
15. R.M. Scarsbrick, Electrically conducting mixtures, *Journal of Physics D: Applied Physics*.6 (17) (1973) 2098.
16. A. Cattaneo, M. Cocito, F. Forlani, M. Prudenziati, Influence of the Metal Migration From Screen-and-Fired Terminations on the Electrical Characteristics of Thick-Film Resistors, *ElectroComponent Science and Technology*.4 (3-4) (1977) 205-211.
17. J. Shah, Strain Sensivity of Thick-Film Resistors, *IEEE Transactions on Components, Hybrids, and Manufacturing Technology*.3 (4) (1980) 554-564.